

# Lab 1: Códigos de Bloco

1<sup>st</sup> Fernando Gusmão Zanchitta  
Divisão de Ciência da Computação  
Instituto Tecnológico de Aeronáutica  
São José dos Campos, Brasil  
fernando.zanchitta@ga.ta.br

2<sup>nd</sup> Guilherme Goulart Kowalczyk  
Divisão de Ciência da Computação  
Instituto Tecnológico de Aeronáutica  
São José dos Campos, Brasil  
guilherme.kowalczyk@ga.ita.br

**Abstract**—Nesse relatório, foi implementado na linguagem *Python* a simulação de um sistema de comunicação formado por um canal BSC e codificação de informação dada pelo código de Hamming com taxa  $4/7$ . Além disso, foi proposto um modelo baseado em Hamming com palavras-código de tamanho maior e taxa de  $11/15$ . Com essa modelagem, foi simulado uma transmissão de cerca de 1 milhão de bits de informação, e se comparou a probabilidade de erro de bit de informação entre os modelos. Constatou-se que ao aumentar o tamanho da palavra-código – ou diminuir a taxa do sistema – se aumenta o desempenho para baixas probabilidades  $p$  de erro de bit de transmissão.

**Index Terms**—BSC, Hamming, Telecomunicações, Códigos de Bloco, Palavra Código

## I. INTRODUÇÃO

Códigos de bloco são um tipo de código de correção de erro usado para codificar mensagens binárias transmitidas entre em canais de comunicação. Formalmente, constitui-se de um subconjunto  $C$  de  $2^K$  vetores (palavras-código) de  $\{0,1\}^N$ , com  $K < N$ . Cada palavra-código se associa a um vetor binário de tamanho  $K$  diferente, referido como decodificação da palavra-código, formando um mapa  $M : C \rightarrow \{0,1\}^K$ . Esse mapa  $M$  é construído cuidadosamente de modo que, mesmo quando há erros na transmissão dos bits da palavra-código, ainda é possível – sob condições – recuperar a palavra de informação associada.

Já um canal BSC modela um canal não-ideal de transmissão com entrada e saída binárias. Para cada bit transmitido, há uma probabilidade  $0 < p \leq \frac{1}{2}$  de erro na transmissão desse bit. Aqui, embora o modelo seja de canal não ideal, ainda assumimos que a probabilidade de erro  $p$  é constante durante toda a operação do canal e que os eventos de transmissão são independentes entre si. Vale notar, no entanto, que sistemas reais podem violar (e efetivamente violam) esses pressupostos de alguma maneira.

Ao mesclar o modelo estatístico de um canal BSC com uma codificação infeliciente de um código de bloco, pode-se modelar o comportamento de um sistema de comunicação simples, alvo desse laboratório. Nesse caso, o objetivo é minimizar a probabilidade de erro de bit de informação  $P_b$ , dada uma probabilidade de erro  $p$  na transmissão pelo canal BSC. Um dos códigos usados para resolver esse problema é o Código de Hamming.

O laboratório envolveu o aprendizado e a implementação de um projeto envolvendo a codificação e decodificação de

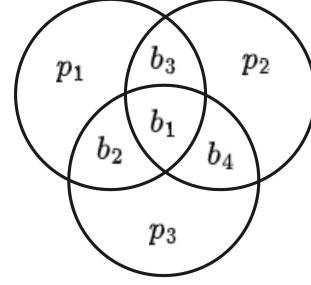


Fig. 1. Diagrama de Venn para o Código de Hamming.

mensagens que passam em um canal BSC como descrito. Além de levantar a curva de probabilidade de erro de bit de informação  $P_b(p)$  para o código de Hamming e para mensagem não codificada, o objetivo do laboratório é propor um código de bloco diferente do código de Hamming, e comparar as curvas  $P_b(p)$  entre si.

## II. METODOLOGIA

A implementação do projeto escrita na linguagem *Python* usando conceitos de Programação Orientada a Objetos, e possui 3 arquivos, `Channel.py`, `encoder.py`, `lab1.py`.

No primeiro arquivo (`Channel.py`), criou-se uma classe `Channel`, que serve de Pai das classes `BSC` e `IdealChannel`. Na BSC foi implementado a soma da palavra de entrada com um sinal `noise` aleatório. `IdealChannel` cria e transmite uma palavra.

No segundo arquivo (`Encoder.py`), foi criada a classe pai `Encoder`, que é pai das classes `HammingEncoder`, `NaiveEncoder`, `AlternativeEncoder`. Cada uma dessas possui os atributos `encode` e `decode`. No terceiro arquivo (`Lab1.py`) foi implementada a simulação com a geração de bits e geração de gráficos para comparação de Performance.

### A. Código de Hamming

Para o código de Hamming, consideramos blocos de tamanho  $K = 4$ , que são codificados em uma palavra-código de tamanho  $N = 7$ , resultando em uma taxa de bits de  $\frac{4}{7}$ . Na sua implementação, foi utilizada a notação algébrica considerando a matriz de geração  $G \in \{0,1\}^{4 \times 7}$ , de modo que uma palavra  $a \in \{0,1\}^K$  é codificada em  $a \mapsto a \cdot G$ .

Já para a decodificação, seguiu-se a orientação dada em aula. A matriz de checagem  $H$  calcula a síndrome  $s = r \cdot H^T$  de uma palavra recebida  $r \in \{0,1\}^N$ . Assim, foi construído um dicionário `errorDict` de modo a se obter a correção  $e$  proposta para cada síndrome possível  $s$ . A palavra decodificada é então reconstruída ao fazer  $c = r \oplus e^1$ .

$$G = \begin{bmatrix} 1 & 0 & 0 & 0 & 1 & 1 & 1 \\ 0 & 1 & 0 & 0 & 1 & 0 & 1 \\ 0 & 0 & 1 & 0 & 1 & 1 & 0 \\ 0 & 0 & 0 & 1 & 0 & 1 & 1 \end{bmatrix} \quad (1)$$

$$H = \begin{bmatrix} 1 & 1 & 1 & 0 & 1 & 0 & 0 \\ 1 & 0 & 1 & 1 & 0 & 1 & 0 \\ 1 & 0 & 0 & 1 & 0 & 0 & 1 \end{bmatrix} \quad (2)$$

$$\text{errorDict} = \begin{cases} s = [000] \Rightarrow e = [0000000] \\ s = [001] \Rightarrow e = [0000001] \\ s = [010] \Rightarrow e = [0000010] \\ s = [011] \Rightarrow e = [0001000] \\ s = [100] \Rightarrow e = [0000100] \\ s = [101] \Rightarrow e = [1000000] \\ s = [110] \Rightarrow e = [0100000] \\ s = [111] \Rightarrow e = [0010000] \end{cases} \quad (3)$$

Portanto para o *encode* de uma palavra  $u$  na palavra-código  $v$  foi feita a operação

$$v = (u \cdot G) \pmod{2} \quad (4)$$

cujas complexidade computacional é uma multiplicação matricial. Já para o *decode* de uma palavra recebida  $r$  foram realizadas as operações

$$\begin{aligned} s &= (r \cdot H^T) \pmod{2} \\ e &= \text{errorDict}[s] \\ c &= r \oplus e \end{aligned} \quad (5)$$

cujas complexidade computacional é o de uma multiplicação matricial, uma soma bit a bit e um lookup em um dicionário previamente construído. Assim, retornamos os 4 primeiros bits do resultado  $c$ .

**A maior dificuldade de implementar o decodificador de Hamming foi na confecção do dicionário de mapeamento de erros, a partir da lógica por trás deste método de decodificação.**<sup>2</sup> Isso porque as operações de multiplicação e soma já são amplamente implementadas em *Python*. Já a construção do dicionário de erros depende da análise das síndromes geradas pelos vetores de erro com peso de Hamming mínimos.

## B. Implementação Própria

A implementação própria envolveu estender a ideia inicial do código de Hamming. Para isso, observe que o código de Hamming pode ser interpretado em um diagrama de Venn como na Figura 1. Nesse caso, os bits de paridade  $p_1$ ,  $p_2$  e  $p_3$  são escolhidos de modo a tornar a soma dos bits em cada círculo par.

Estendendo essa ideia, ao invés de trabalhar com três bits de paridade, podemos tomar mais um bit de paridade, conforme a Figura 2. Nesse caso, montando o diagrama de Venn com quatro conjuntos, conseguimos transmitir 11 bits de informação em cada bloco de 14 bits de palavra-código. Assim, nossa implementação aumenta a taxa de bits para  $11/15 \approx 73\%$ .

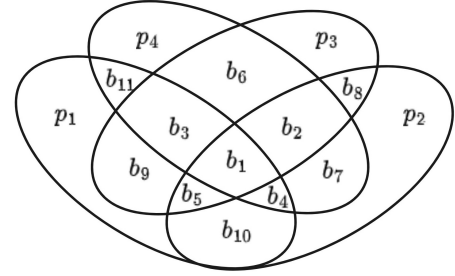


Fig. 2. Diagrama de Venn para implementação alternativa.

A partir da Figura 2 disso, seguindo um padrão lógico de soma de cada círculo resultado em 0, obtém-se as equações abaixo.

$$\begin{aligned} p_1 + b_{11} + b_9 + b_3 + b_5 + b_1 + b_{10} + b_4 &= 0 \\ p_2 + b_8 + b_2 + b_7 + b_1 + b_4 + b_5 + b_{10} &= 0 \\ p_3 + b_8 + b_6 + b_2 + b_3 + b_1 + b_5 + b_9 &= 0 \\ p_4 + b_{11} + b_3 + b_6 + b_1 + b_2 + b_4 + b_7 &= 0 \end{aligned} \quad (6)$$

A partir dessas equações, conseguimos construir as matrizes  $G$  de geração da palavra-código e  $H$  de checagem de erros. As matrizes para nosso código são bastante grandes, mas podem ser consultadas no.

Os algoritmos de *encode* e *decode* seguem as mesmas operações apresentadas no Hamming, uma vez a adição de mais uma equação ao sistema mantém  $N = 2^r - 1$ ,  $r \geq 2$ , com tamanho de palavra código  $K = 2^r - 1 - r$ . Isso garante um formato das matrizes Geradora e de Checagem de erro, seguindo o formato abaixo:

$$A = \begin{bmatrix} 1 & 0 & 1 & 1 & 1 & 0 & 0 & 0 & 1 & 1 & 1 \\ 1 & 1 & 0 & 1 & 1 & 0 & 1 & 1 & 0 & 1 & 0 \\ 1 & 1 & 1 & 0 & 1 & 1 & 0 & 1 & 1 & 0 & 0 \\ 1 & 1 & 1 & 1 & 0 & 1 & 1 & 0 & 0 & 0 & 1 \end{bmatrix} \quad (7)$$

$$G = (I_k | A^T) \quad (8)$$

$$H = (A | I_{n-k}) \quad (9)$$

Dessa forma, na etapa de codificação utilizamos a Equação 4 para obter a palavra-código  $v$  a partir do bloco de informação

<sup>1</sup>Aqui,  $\oplus$  denota a operação XOR bit a bit, ou soma vetorial módulo 2.

<sup>2</sup>Resposta para a pergunta 1 do roteiro.

a ser transmitida  $u$ . Nesse caso, a complexidade computacional é uma multiplicação por matriz. Já na etapa de decodificação, utilizamos a Equação 5 para obter de volta a informação a partir da palavra recebida. Nesse caso, a complexidade computacional é uma multiplicação matricial, um lookup em um dicionário já definido e uma operação de XOR bit a bit.<sup>3</sup>

Observe que essa extensão de  $r \geq 2$  torna a codificação possível para comprimentos de bloco de tamanhos maiores ainda, como: 31, 63, 127. Isso torna as taxas de  $\approx 0.839$ ,  $\approx 0.905$ ,  $\approx 0.969$ . Assim, é perfeitamente possível estender o método utilizado aqui para tamanhos arbitrariamente grandes de palavra-código, como os citados acima. Entretanto, o tamanho de bloco deve ser da forma  $2^r - 1$  com  $r \in \mathbb{R}$ .<sup>4</sup>

### III. ANÁLISES E RESULTADOS

Foi implementado um codificador e decodificador de canal para o código de Hamming, como descrito nos tópicos acima. Além disso, foi feito um canal BSC com parâmetro  $p$  de probabilidade de erro para cada bit transmitido no canal.

Após isso, foi criado um modelo de codificação/decodificação alternativo para efeito de comparação, como descrito no Tópico B.

Para cada código (Hamming e Alternativo), fizemos a simulação da transmissão de cerca de 1 milhão de bits. Definimos um escopo de probabilidades para teste,

$$p = \begin{bmatrix} 5 \cdot 10^{-1} & 2 \cdot 10^{-1} \\ 1 \cdot 10^{-1} & 5 \cdot 10^{-2} \\ \dots & \dots \\ 1 \cdot 10^{-4} & 5 \cdot 10^{-5} \\ 2 \cdot 10^{-5} & 1 \cdot 10^{-5} \end{bmatrix} \quad (10)$$

sendo  $p$  array com probabilidade de erro de bit de informação, utilizando pseudo-divisão por 2.

Com isso, mapeamos esse array  $p$  em na criação de canais BSC com probabilidade  $p$ . Os canais gerados eram passados pelo processo de codificação e decodificação, e as palavras geradas eram armazenadas em outro array `Channel`.

O `Channel` entra como parâmetro em uma função que mapeia as simulações e o codificador para então ser gerado as novas palavras decodificadas.

Por fim, mapeia-se o resultado das simulações com a palavra inicialmente gerada. Esse resultado é comparado entre os diferentes tipos de codificação e foi gerado o gráfico comparativo de desempenho da probabilidade de erro de um bit.

Observa-se pela Figura 3 que o desempenho gerado pela função código `Naive` é equivalente a um código de bloco unitário, ou seja  $P_b$  é atribuído com os mesmos valores de  $p$ , já que não há codificação além da trivial. A medida em que aumenta-se a palavra código, como nas funções `Hamming` e `Alternative` o desempenho aumenta, uma vez que os valores da probabilidade de erro no bit de informação  $P_b$

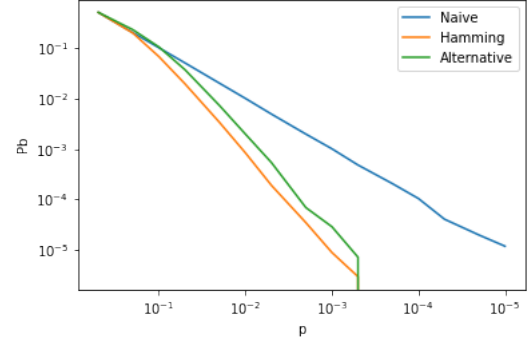


Fig. 3. Gráficos de desempenho da probabilidade de erro de um bit para algoritmos de codificação diferentes.

diminuem em relação a probabilidade de erro na transmissão  $p$ .

Comparando o resultado entre as duas ultimas funções, a diferença de desempenho na probabilidade  $P_b$  se deve à diferença de tamanho entre os blocos de código e de taxa do sistema. Nesse caso, um acabou compensando o outro, de modo que nosso código `Alternative` teve um desempenho semelhante ao `Hamming`, evidenciado pelas curvas próximas na Figura 3.

Por fim, veja que não há alguns pontos plotados para o código de Hamming nem para o código alternativo para valores pequenos de  $p$ . Isso acontece porque o gráfico está com eixo em logaritmo, e para probabilidades de  $p$  muito baixas, não houve erro de transmissão nos 1 milhão de bits de informação simulados, o que é um ótimo resultado.

### IV. CONCLUSÃO

No laboratório, pode-se realizar a implementação simulada de um sistema de comunicações simples, composta por um canal BSC e diferentes códigos de bloco para *encoding*. Pela análise da curva de probabilidade de erro de bit de informação  $P_b$  pela probabilidade de erro de transmissão  $p$ , pode-se identificar dois fatores que modificam a curva para esse tipo de sistema: o tamanho da palavra código e a taxa de transmissão de informação do sistema.

Quando se diminui a probabilidade de erro de bit na transmissão  $p$ , a probabilidade de erro de bit de informação  $P_b$  diminui, já que a decodificação do código precisa corrigir menos erros de transmissão. Uma outra maneira de pensar isso é que o código de Hamming e o nosso código `Alternative` são bons em decodificar blocos com zero ou um erros. Conforme  $p$  diminui, blocos com dois ou mais erros são cada vez mais raros, o que contribui para um  $P_b$  menor.

Outra relação feita é que **à medida que o tamanho  $K$  do bloco aumenta – ou que a taxa do sistema  $K/N$  diminui – aumenta-se o desempenho da probabilidade de erro de bit. Visualmente, a curva  $P_b$  por  $p$  fica mais acentuada para valores pequenos de  $p$ , conforme a Figura 3<sup>5</sup>. Em suma,**

<sup>3</sup>Resposta para a pergunta 4 do relatório.

<sup>4</sup>Resposta para a pergunta 2 do roteiro.

<sup>5</sup>Resposta para a pergunta 3

observa-se uma relação de dependência – *trade-off* – entre taxa do sistema e desempenho, e entre tamanho do bloco de código e desempenho.